

Strojarski fakultet u Slavonskom Brodu
Sveučilište J. J. Strossmayera u Osijeku

Matematika i statistika

II. Grupiranje podataka: klasteri
R. Scitovski, M. Benšić, K. Sabo

1 Uvod

Definicija 1. Neka je \mathcal{A} skup s $m \geq 2$ elemenata i $1 \leq k \leq m$. Rastav skupa \mathcal{A} na k podskupove π_1, \dots, π_k , tako da bude

- (i) $\bigcup_{i=1}^k \pi_i = \mathcal{A},$
- (ii) $\pi_i \cap \pi_j = \emptyset, \quad i \neq j,$
- (iii) $m_j := |\pi_j| \geq 1, \quad j = 1, \dots, k.$

zovemo *particija skupa \mathcal{A}* , a skupove π_1, \dots, π_k *klasteri*. Skup svih particija skupa \mathcal{A} sastavljenih od k klastera koje zadovoljavaju (i)-(iii) označit ćemo s $\mathcal{P}(\mathcal{A}, k)$.

Nadalje, kad god budemo govorili o particiji skupa \mathcal{A} , podrazumijevat ćemo da je ona sastavljena od ovakvih podskupova skupa \mathcal{A} . Na taj način svjesno smo iz razmatranja isključili particije, koje sadržavaju prazan skup ili skup \mathcal{A} .

Sinonimi: *grupiranje, segmentiranje, klasifikacija, rangiranje*

En.: cluster analysis, clustering, data mining

Može se pokazati da je broj svih particija skupa \mathcal{A} iz Definicije 1 jednak Stirlingovom broju druge vrste

$$|\mathcal{P}(\mathcal{A}, k)| = \frac{1}{k!} \sum_{j=1}^k (-1)^{k-j} \binom{k}{j} j^m. \quad (1)$$

Primjer 1. Broj svih particija skupa \mathcal{A} koje zadovoljavaju Definiciju 1 specijalno za $m = 10, 50, 10^3, 10^6$ i $k = 2, 3, 5, 8, 10$ iznosi

$ \mathcal{P}(\mathcal{A}, k) $	$k = 2$	$k = 3$	$k = 5$	$k = 8$	$k = 10$
$m = 10$	511	9330	42525	750	1
$m = 50$	10^{15}	10^{23}	10^{33}	10^{40}	10^{43}
$m = 10^3$	10^{300}	10^{476}	10^{697}	10^{898}	10^{993}
$m = 10^6$	$10^{301\,029}$	$10^{477\,120}$	$10^{698\,968}$	$10^{903\,085}$	10^{10^6}

Iz navedenog primjera vidi se da traženje optimalne particije općenito neće biti moguće provesti pretraživanjem čitavog skupa $\mathcal{P}(\mathcal{A}, k)$. Odmah teba reći da problem traženja optimalne particije spada u NP-teške probleme [Gan et al., 2007] nekonveksne optimizacije općenito nediferencijabilne funkcije više varijabli, koja najčešće posjeduje značajan broj stacionarnih točaka.

Primjene:

poljoprivreda (primjerice, razvrstavanje oranica prema plodnosti zemljišta);

biologija (primjerice, klasifikacija kukaca u grupe)

medicina (primjerice, analiza rentgenskih slika)

promet (primjerice, identifikacija prometnih "čepova")

analiza i pretraživanje teksta

analiza klimatskih kretanja

donošenje raznih odluka u tijelima državne i lokalne administracije.

definiranje izbornih sustava

Programska podrška [Sabo et al., 2010]:

<http://www.mathos.hr/oml/software.htm>

2 Motivacija

$\mathcal{A} = \{a_1, \dots, a_m\} \subset \mathbb{R}$ – podskup realnih brojeva

$\Pi(\mathcal{A}) = \{\pi_1, \pi_2\}$ – particijaskupa \mathcal{A} , takva da vrijedi

$$\pi_1 \cup \pi_2 = \mathcal{A}, \quad \pi_1 \cap \pi_2 = \emptyset, \quad m_1 = |\pi_1| \geq 1, \quad m_2 = |\pi_2| \geq 1.$$

$|\mathcal{P}(\mathcal{A}, k)| = 2^{m-1} - 1$ – broj svih ovakvih particija

$d: \mathbb{R} \times \mathbb{R} \rightarrow \mathbb{R}_+$ – kvazimetrička funkcija

Uz primjenu LS-kvazimetričke funkcije $d(x, y) = (x - y)^2$, za klastera π_1, π_2 odredimo reprezentante – centroide

$$\begin{aligned} c_1 &= \operatorname{argmin}_{x \in \mathbb{R}} \sum_{a_i \in \pi_1} d(x, a_i) = \frac{1}{m_1} \sum_{a_i \in \pi_1} a_i, \\ c_2 &= \operatorname{argmin}_{x \in \mathbb{R}} \sum_{a_i \in \pi_2} d(x, a_i) = \frac{1}{m_2} \sum_{a_i \in \pi_2} a_i. \end{aligned}$$

Mjeru kvalitete particije $\Pi = \{\pi_1, \pi_2\}$ s centroidima c_1, c_2 definirat ćemo funkcijom cilja $\mathcal{F}: \mathcal{P}(\mathcal{A}, 2) \rightarrow \mathbb{R}_+$

$$\mathcal{F}(\Pi) = \sum_{a_i \in \pi_1} d(c_1, a_i) + \sum_{a_i \in \pi_2} d(c_2, a_i), \tag{2}$$

koja predstavlja sumu "kvadratnog rasipanja" točaka klastera π_1 do centroida c_1 i točaka klastera π_2 do centroida c_2 .

Problem: pronaći onu particiju na kojoj funkcija cilja \mathcal{F} postiže najmanju vrijednost

Primjer 2. Treba pronaći sve particije skupa $\mathcal{A} = \{1, 3, 4, 8\}$, odrediti pripadne centroide i vrijednosti funkcije cilja \mathcal{F} .

π_1	π_2	c_1	c_2	$\mathcal{F}(\Pi)$	$\mathcal{G}(\Pi)$
{1}	{3, 4, 8}	1	5	$0 + 14 = 14$	$9 + 3 = 12$
{3}	{1, 4, 8}	3	$13/3$	$0 + 74/3 = 24.67$	$1 + 1/3 = 1.33$
{4}	{1, 3, 8}	4	4	$0 + 26 = 26$	$0 + 0 = 0$
{8}	{1, 3, 4}	8	$8/3$	$0 + 14/3 = 4.67$	$16 + 16/3 = 21.33$
{1, 3}	{4, 8}	2	6	$2 + 8 = 10$	$8 + 8 = 16$
{1, 4}	{3, 8}	$5/2$	$11/2$	$9/2 + 25/2 = 17$	$9/2 + 9/2 = 9$
{1, 8}	{3, 4}	$9/2$	$7/2$	$49/2 + 1/2 = 25$	$1/2 + 1/2 = 1$

Obratno, za dane realne brojeve $c_1, c_2 \in \mathbb{R}$, $c_1 \neq c_2$, primjenom **principa minimalnih udaljenosti** možemo definirati particiju $\Pi = \{\pi_1, \pi_2\}$ skupa \mathcal{A} na sljedeći način:

$$\begin{aligned}\pi_1 &= \{a_i \in \mathcal{A} : d(a_i, c_1) \leq d(a_i, c_2)\}, \\ \pi_2 &= \{a_i \in \mathcal{A} : d(a_i, c_2) < d(a_i, c_1)\},\end{aligned}$$

pri čemu treba voditi računa da svaki element skupa \mathcal{A} pridružimo samo jednom klasteru. Zato se problem traženja optimalne particije skupa \mathcal{A} može razmatrati kao sljedeći optimizacijski problem

$$\min_{c_1, c_2 \in \mathbb{R}} F(c_1, c_2), \quad F(c_1, c_2) = \sum_{i=1}^m \min\{d(c_1, a_i), d(c_2, a_i)\}, \quad (3)$$

gdje je $F: \mathbb{R} \times \mathbb{R} \rightarrow \mathbb{R}_+$. Ovaj problem u literaturi se pojavljuje pod nazivom *k-median problem* i ekvivalentan je problemu traženja optimalne particije na kojoj kriterijska funkcija cilja \mathcal{F} postiže globalni minimum.

Primjedba 1. Primijetite da klasteri π_1, π_2 ovise o centrima c_1, c_2 i da vrijedi

$$\mathcal{F}(\Pi) := \sum_{a_i \in \pi_1} d(c_1, a_i) + \sum_{a_i \in \pi_2} d(c_2, a_i) \leq \sum_{i=1}^m \min\{d(c_1, a_i), d(c_2, a_i)\} =: F(c_1, c_2), \quad (4)$$

pri čemu se jednakost postiže na lokalno optimalnoj particiji. Naime, vrijedi

$$\begin{aligned}F(c_1, c_2) &= \sum_{a_i \in \pi_1(c_1, c_2)} \min\{d(c_1, a_i), d(c_2, a_i)\} + \sum_{a_i \in \pi_2(c_1, c_2)} \min\{d(c_1, a_i), d(c_2, a_i)\} \\ &\geq \sum_{a_i \in \pi_1(c_1, c_2)} d(c_1, a_i) + \sum_{a_i \in \pi_2(c_1, c_2)} d(c_2, a_i) = \mathcal{F}(\Pi).\end{aligned}$$

Algoritam 1. (Standardni k-means algoritam)

Step 1: Inicijalizacija: $z_1 < z_2$;

$$F(z_1, z_2) = \sum_{i=1}^m \min\{d(z_1, a_i), d(z_2, a_i)\}$$

Step 2: Priduživanje (assignment step)

$$\pi_1 = \{a_i \in \mathcal{A} : d(z_1, a_i) \leq d(z_2, a_i)\},$$

$$\pi_2 = \{a_i \in \mathcal{A} : d(z_2, a_i) < d(z_1, a_i)\},$$

Step 3: Korekcija (update step)

$$\zeta_1 = \operatorname{argmin}_{x \in \mathbb{R}} \sum_{a_i \in \pi_1} d(x, a_i)$$

$$\zeta_2 = \operatorname{argmin}_{x \in \mathbb{R}} \sum_{a_i \in \pi_2} d(x, a_i)$$

$$\mathcal{F}(\Pi(\pi_1, \pi_2)) = \sum_{a \in \pi_1} d(\zeta_1, a) + \sum_{a \in \pi_2} d(\zeta_2, a)$$

Primjedba 2. Step 2 i Step 3 se izmjenjuju tako dugo dok se ili centri ne poklope ili dok se particije ne poklope ili dok vrijednost funkcije cilja ne prestane opadati. Primijetite da se u Step 2 novi klasteri π_1, π_2 geometrijski mogu odrediti tako da odredimo polovište spojnica centroida. Tada svi elementi lijevo od polovišta pripadaju novom klasteru π_1 , a svi elementi desno od polovišta pripadaju novom klasteru π_2 .

Primjer 3. $\mathcal{A} = \{1, 2, 6, 7, 9\}$, $k = 2$,

R.br.	z_1	z_2	$F(z_1, z_2)$	π_1	π_2	ζ_1	ζ_2	$\mathcal{F}(\{\pi_1, \pi_2\})$
1	4	8	19	{1, 2, 6}	{7, 9}	3	8	16
2	3	8	11	{1, 2}	{6, 7, 9}	$\frac{3}{2}$	$\frac{22}{3}$	$\frac{31}{6} \approx 5.1667$
3	$\frac{3}{2}$	$\frac{22}{3}$	5.1667	{1, 2}	{6, 7, 9}	$\frac{3}{2}$	$\frac{22}{3}$	5.1667

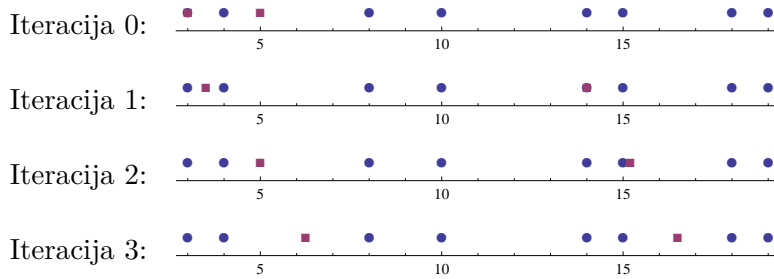
Primjer 4. $\mathcal{A} = \{0, 2, 3\}$, $k = 2$,

R.br.	z_1	z_2	$F(z_1, z_2)$	π_1	π_2	ζ_1	ζ_2	$\mathcal{F}(\{\pi_1, \pi_2\})$
1	1	3	2	{0, 2}	{3}	1	3	2
1	1	3	2	{0, 2}	{3}	1	3	2

Ovo je primjer koji pokazuje da standardni k -means algoritam ne daje optimalno rješenje. Bolja particija je $\Pi_1 = \{\{0\}, \{2, 3\}\}$ jer je $F(\Pi_1) = 0.25$.

Primjer 5. $\mathcal{A} = \{3, 4, 8, 10, 14, 15, 18, 19\}$, $k = 2$,

R.br.	z_1	z_2	$F(z_1, z_2)$	π_1	π_2	ζ_1	ζ_2	$\mathcal{F}(\{\pi_1, \pi_2\})$
1	3	5	581	{3, 4}	{8, 10, 14, 15, 18, 19}	3.5	14	94.5
2	3.5	14	78.75	{3, 4, 8}	{10, 14, 15, 18, 19}	5	15.2	64.8
3	5	15.2	62.76	{3, 4, 8, 10}	{14, 15, 18, 19}	6.25	16.5	49.75
4	6.25	16.5	49.756	{3, 4, 8, 10}	{14, 15, 18, 19}	6.25	16.5	49.75



2.1 Traženje optimalne particije

Zadatak 1. Neka su $f, g \in C^2(\mathbb{R})$ dvije funkcije za koje vrijedi

$$f(x) + g(x) = \text{const}, \quad \forall x \in \mathbb{R}.$$

Pokažite da tada vrijedi

- (i) Ako funkcija f u točki $x_0 \in \mathbb{R}$ postiže lokalni (odnosno globalni) minimum, onda funkcija g u toj točki postiže lokalni (odnosno globalni) maksimum;
- (ii) Ako funkcija f u točki $x_0 \in \mathbb{R}$ postiže lokalni (odnosno globalni) maksimum, onda funkcija g u toj točki postiže lokalni (odnosno globalni) minimum;

Lema 1. Neka je $\mathcal{A} = \{a_1, \dots, a_m\} \subset \mathbb{R}$ skup podataka, a $\Pi = \{\pi_1, \pi_2\}$ neka particija s klasterima π_1, π_2 i centrima

$$c_1 = \frac{1}{m_1} \sum_{a_i \in \pi_1} a_i, \quad c_2 = \frac{1}{m_2} \sum_{a_i \in \pi_2} a_i, \quad m_1 = |\pi_1|, \quad m_2 = |\pi_2|.$$

Tada vrijedi

$$\mathcal{F}(c_1, c_2) + \mathcal{G}(c_1, c_2) = \sum_{i=1}^m (a_i - \bar{c})^2, \quad \bar{c} = \frac{1}{m} \sum_{i=1}^m a_i, \quad (5)$$

gdje je

$$\mathcal{F}(c_1, c_2) = \sum_{a_i \in \pi_1} (a_i - c_1)^2 + \sum_{a_i \in \pi_2} (a_i - c_2)^2, \quad (6)$$

$$\mathcal{G}(c_1, c_2) = m_1(c_1 - \bar{c})^2 + m_2(c_2 - \bar{c})^2. \quad (7)$$

Dokaz. Za svaki $x \in \mathbb{R}$ vrijedi

$$\sum_{a_i \in \pi_j} (a_i - x)^2 = \sum_{a_i \in \pi_j} (a_i - c_j)^2 + m_j(c_j - x)^2, \quad j = 1, 2. \quad (8)$$

Primjerice,

$$\begin{aligned} \sum_{a_i \in \pi_1} (a_i - x)^2 &= \sum_{a_i \in \pi_1} ((a_i - c_1) + (c_1 - x))^2 \\ &= \sum_{a_i \in \pi_1} (a_i - c_1)^2 + m_1(c_1 - x)^2, \\ \text{jer je} \quad \sum_{a_i \in \pi_1} (a_i - c_1)(c_1 - x) &= (c_1 - x) \sum_{a_i \in \pi_1} (a_i - c_1) = 0. \end{aligned}$$

Ako u (8) stavimo $x = \bar{c}$ i zbrojimo obje jednakosti, dobivamo

$$\sum_{a_i \in \pi_1} (a_i - \bar{c})^2 + \sum_{a_i \in \pi_2} (a_i - \bar{c})^2 = \sum_{a_i \in \pi_1} (a_i - c_1)^2 + \sum_{a_i \in \pi_2} (a_i - c_2)^2 + m_1(c_1 - \bar{c})^2 + m_2(c_2 - \bar{c})^2.$$

Kako je

$$\sum_{a_i \in \pi_1} (a_i - \bar{c})^2 + \sum_{a_i \in \pi_2} (a_i - \bar{c})^2 = \sum_{i=1}^m (a_i - \bar{c})^2$$

slijedi (5). \square

Teorem 1. Neka su $F, G \in C^2(\mathbb{R}^2)$ dvije funkcije za koje vrijedi

$$F(x, y) + G(x, y) = \text{const}, \quad \forall (x, y) \in \mathbb{R}^2.$$

Tada vrijedi:

- (i) Ako funkcija F u točki $(x^*, y^*) \in \mathbb{R}^2$ postiže lokalni (odnosno globalni) minimum, onda funkcija G u toj točki postiže lokalni (odnosno globalni) maksimum;
- (ii) Ako funkcija F u točki $(x^*, y^*) \in \mathbb{R}^2$ postiže lokalni (odnosno globalni) maksimum, onda funkcija G u toj točki postiže lokalni (odnosno globalni) minimum;

Dokaz. Kako je

$$\frac{\partial F}{\partial x} + \frac{\partial G}{\partial x} = 0, \quad \frac{\partial F}{\partial y} + \frac{\partial G}{\partial y} = 0,$$

onda se stacionarne točke funkcija F i G podudaraju. Nadalje, kako je

$$\frac{\partial^2 F}{\partial x^2} + \frac{\partial^2 G}{\partial x^2} = 0, \quad \frac{\partial^2 F}{\partial y \partial x} + \frac{\partial^2 G}{\partial x \partial y} = 0, \quad \frac{\partial^2 F}{\partial y^2} + \frac{\partial^2 G}{\partial y^2} = 0,$$

onda za Hessijane funkcija F, G vrijedi

$$H_F(x, y) = -H_G(x, y),$$

iz čega slijede traženi zaključci. \square

Zadatak 2. Neka su $F, G \in C(\mathbb{R})$ dvije neprekidne funkcije za koje vrijedi

$$F(x, y) + G(x, y) = \text{const}, \quad \forall (x, y) \in \mathbb{R}^2.$$

Pokažite da tada vrijedi:

- (i) Ako funkcija F u točki $(x^*, y^*) \in \mathbb{R}^2$ postiže lokalni (odnosno globalni) minimum, onda funkcija G u toj točki postiže lokalni (odnosno globalni) maksimum;
- (ii) Ako funkcija F u točki $(x^*, y^*) \in \mathbb{R}^2$ postiže lokalni (odnosno globalni) maksimum, onda funkcija G u toj točki postiže lokalni (odnosno globalni) minimum;

Korolar 1. Neka je $\mathcal{A} = \{a_1, \dots, a_m\} \subset \mathbb{R}$ skup podataka. Tada optimalnu dvočlanu particiju $\Pi^* = \{\pi_1^*, \pi_2^*\}$ skupa \mathcal{A} možemo tražiti tako da tražimo globalni minimum funkcije (princip minimalnih kvadratnih udaljenosti od centara klastera)

$$\mathcal{F}(c_1, c_2) = \sum_{a_i \in \pi_1} (a_i - c_1)^2 + \sum_{a_i \in \pi_2} (a_i - c_2)^2,$$

gdje je

$$\pi_1 = \{a_i \in \mathcal{A}: |a_i - c_1| \leq |a_i - c_2|\}, \quad \pi_2 = \{a_i \in \mathcal{A}: |a_i - c_2| < |a_i - c_1|\},$$

odnosno, sukladno Primjedbi 1, minimum funkcije

$$F(c_1, c_2) = \sum_{i=1}^m \min\{(a_i - c_1)^2, (a_i - c_2)^2\},$$

ili tako da tražimo globalni maksimum funkcije (princip maksimalne kvadratne udaljenosti centara klastera)

$$\mathcal{G}(c_1, c_2) = m_1(c_1 - \bar{c})^2 + m_2(c_2 - \bar{c})^2, \quad \bar{c} = \frac{1}{m} \sum_{i=1}^m a_i,$$

gdje je $m_1 = |\pi_1|$, $m_2 = |\pi_2|$.

Primjedba 3. Fizikalni smisao bio bi traženje "dva težišta" diskretnog materijalnog tijela.

3 Grupiranje podataka s jednim obilježjem

Neka je $\mathcal{A} = \{a_1, \dots, a_m\}$ skup koji na osnovi samo jednog obilježja treba grupirati u k klastera koji zadovoljavaju Definiciju 1. Primjerice, dane u godini možemo grupirati prema prosječnoj dnevnoj temperaturi izraženoj u °C. Svaki element $a_i \in \mathcal{A}$ temeljem tog obilježja reprezentirat ćemo jednim realnim brojem, kojeg ćemo također označavati s a_i . Zato ćemo nadalje govoriti o skupu podataka-realnih brojeva $\mathcal{A} = \{a_1, \dots, a_m\}$ među kojima može biti i jednakih. Možemo također koristiti i termine: *m-torka realnih brojeva* ili *konačni niz realnih brojeva*.

Ako je zadana neka kvazimetrička funkcija $d: \mathbb{R} \times \mathbb{R} \rightarrow \mathbb{R}_+$, onda svakom klasteru $\pi_j \in \Pi$ možemo pridružiti njegov centar c_j na sljedeći način

$$c_j = c(\pi_j) := \operatorname{argmin}_{x \in \mathbb{R}} \sum_{a_i \in \pi_j} d(x, a_i). \quad (9)$$

Nadalje, ako na skupu svih particija $\mathcal{P}(\mathcal{A}, k)$ skupa \mathcal{A} sastavljenih od k klastera definiramo kriterijsku funkciju cilja $\mathcal{F}: \mathcal{P}(\mathcal{A}, k) \rightarrow \mathbb{R}_+$,

$$\mathcal{F}(\Pi) = \sum_{j=1}^k \sum_{a_i \in \pi_j} d(c_j, a_i), \quad (10)$$

onda d -optimalnu particiju Π^* tražimo rješavanjem sljedećeg optimizacijskog problema

$$\mathcal{F}(\Pi^*) = \min_{\Pi \in \mathcal{P}(\mathcal{A}, k)} \mathcal{F}(\Pi). \quad (11)$$

Primijetite da na taj način optimalna particija Π^* ima svojstvo da je suma "rasipanja" (suma odstupanja) elemenata klastera oko svog centra minimalna. Na taj način nastojimo postići što bolju unutrašnju kompaktnost i separiranost klastera.

Obratno, za dati skup centara $c_1, \dots, c_k \in \mathbb{R}$, uz primjenu *principa minimalnih udaljenosti* možemo definirati particiju $\Pi = \{\pi_1, \dots, \pi_k\}$ skupa \mathcal{A} na sljedeći način:

$$\pi_j = \{a \in \mathcal{A} : d(c_j, a) \leq d(c_s, a), \forall s = 1, \dots, k\}, \quad j = 1, \dots, k, \quad (12)$$

pri čemu treba voditi računa o tome da svaki element skupa \mathcal{A} pripadne samo jednom klasteru. Zato se problem traženja optimalne particije skupa \mathcal{A} može svesti na sljedeći optimizacijski problem

$$\min_{c_1, \dots, c_k \in \mathbb{R}} F(c_1, \dots, c_k), \quad F(c_1, \dots, c_k) = \sum_{i=1}^m \min_{j=1, \dots, k} d(c_j, a_i), \quad (13)$$

gdje je $F: \mathbb{R}^k \rightarrow \mathbb{R}_+$. Općenito, ova funkcija nije konveksna ni diferencijabilna, a može imati više lokalnih minimuma [Gan et al., 2007, Iyigun and Ben-Israel, 2010, Teboulle, 2007].

Optimizacijski problem (13) u literaturi se može naći pod nazivom *k-median problem* i ekvivalentan je optimizacijskom problemu (11). Naime, vrijedi

$$\begin{aligned} F(c_1, \dots, c_k) &:= \sum_{i=1}^m \min\{d(c_1, a_i), \dots, d(c_k, a_i)\} \\ &\geq \sum_{j=1}^k \sum_{a_i \in \pi_j} \min\{d(c_1, a_i), \dots, d(c_k, a_i)\} \\ &= \sum_{j=1}^k \sum_{a_i \in \pi_j} d(c_j, a_i) =: \mathcal{F}(\Pi), \end{aligned} \quad (14)$$

gdje je $\Pi = \{\pi_1, \dots, \pi_k\}$,

$$\pi_j = \pi_j(c_1, \dots, c_k) = \{a \in \mathcal{A}: d(c_j, a) \leq d(c_s, a), \forall s = 1, \dots, k\},$$

odnosno

$$\pi_j = \pi_j(c_1, \dots, c_k) = \{a_i \in \mathcal{A}: j = \operatorname{argmin}_{s=1, \dots, k} d(c_s, a_i)\}.$$

Jednakost u (14) vrijedi ako je Π lokalno ili globalno optimalna particija.

3.1 Kriterij najmanjih kvadrata

Ako je $d: \mathbb{R} \times \mathbb{R} \rightarrow \mathbb{R}_+$, $d(a, b) = (a - b)^2$ LS-kvazimetrička funkcija, centri c_1, \dots, c_k klastera π_1, \dots, π_k određeni su s

$$c_j = \operatorname{argmin}_{u \in \mathbb{R}} \sum_{a_i \in \pi_j} (a_i - u)^2 = \frac{1}{|\pi_j|} \sum_{a_i \in \pi_j} a_i, \quad j = 1, \dots, k, \quad (15)$$

a funkcija cilja (10) s

$$\mathcal{F}(c_1, \dots, c_k) = \sum_{j=1}^k \sum_{a_i \in \pi_j} (c_j - a_i)^2. \quad (16)$$

Primjer 6. Zadan je skup $\mathcal{A} = \{0, 3, 6, 9\}$. Treba pronaći sve njegove dvočlane particije koje zadovoljavaju Definiciju 1, odrediti pripadne centre i vrijednosti kriterijske funkcije cilja \mathcal{F} u smislu najmanjih kvadrata.

Broj svih dvočlanih particija ovog skupa je $2^{m-1} - 1 = 7$, a kao što se vidi iz Tablice 2 LS-optimalna particija u ovom slučaju je $\{\{0, 3\}, \{6, 9\}\}$ jer na njoj kriterijska funkcija cilja \mathcal{F} zadana s (16) postiže globalni minimum.

3.1.1 Dualni problem

Sljedeća lema pokazuje da je “rasipanje” skupa \mathcal{A} oko njegovog centra c jednako zbroju “rasipanja” klastera π_j , $j = 1, \dots, k$, oko njihovih centara c_j , $j = 1, \dots, k$, i težinskoj sumi kvadrata odstupanja centra c od centara c_j , pri čemu su težine određene veličinom skupova π_j .

π_1	π_2	c_1	c_2	$\mathcal{F}(c_1, c_2)$	$\mathcal{G}(c_1, c_2)$
{0}	{3,6,9}	0	6	0+18	=18
{3}	{0,6,9}	3	5	0+42	=42
{6}	{0,3,9}	6	4	0+42	=42
{9}	{0,3,6}	9	3	0+18	=18
{0,3}	{6,9}	3/2	15/2	9/2+9/2	=9
{0,6}	{3,9}	3	6	18+18	=36
{0,9}	{3,6}	9/2	9/2	81/2+9/2	=45

Tablica 1: Particije, centri i vrijednosti funkcije cilja \mathcal{F} i \mathcal{G}

Lema 2. Neka je $\mathcal{A} = \{a_1, \dots, a_m\}$ skup podataka, a $\Pi = \{\pi_1, \dots, \pi_k\}$ neka particija s klasterima π_1, \dots, π_k duljine m_1, \dots, m_k . Neka je nadalje

$$c = \frac{1}{m} \sum_{i=1}^m a_i, \quad c_j = \frac{1}{m_j} \sum_{a_i \in \pi_j} a_i, \quad j = 1, \dots, k, \quad (17)$$

gdje je $m_j = |\pi_j|$. Tada vrijedi

$$\sum_{i=1}^m (a_i - c)^2 = \mathcal{F}(c_1, \dots, c_k) + \mathcal{G}(c_1, \dots, c_k), \quad (18)$$

gdje je

$$\mathcal{F}(c_1, \dots, c_k) = \sum_{j=1}^k \sum_{a_i \in \pi_j} (c_j - a_i)^2, \quad (19)$$

$$\mathcal{G}(c_1, \dots, c_k) = \sum_{j=1}^k m_j (c_1, \dots, c_k) (c_j - c)^2. \quad (20)$$

Dokaz. Primijetimo najprije da za svaki $x \in \mathbb{R}$ vrijedi

$$\sum_{a_i \in \pi_j} (a_i - x)^2 = \sum_{a_i \in \pi_j} (a_i - c_j)^2 + m_j (c_j - x)^2, \quad j = 1, \dots, k. \quad (21)$$

Naime, kako je $\sum_{a_i \in \pi_j} (a_i - c_j)(c_j - x) = (c_j - x) \sum_{a_i \in \pi_j} (a_i - c_j) = 0$, vrijedi

$$\begin{aligned} \sum_{a_i \in \pi_j} (a_i - x)^2 &= \sum_{a_i \in \pi_j} ((a_i - c_j) + (c_j - x))^2 \\ &= \sum_{a_i \in \pi_j} (a_i - c_j)^2 + m_j (c_j - x)^2. \end{aligned}$$

Ako u (21) umjesto x stavimo $c = \frac{1}{m} \sum_{i=1}^m a_i$ i zbrojimo sve jednakosti, dobivamo (18). \square

Iz Leme 2 neposredno slijedi tvrdnja sljedećeg teorema [Dhillon et al., 2004, Späth, 1983]

Teorem 2. Uz označke kao u Lemu 2 vrijedi:

$$\begin{aligned} \underset{\Pi \in \mathcal{P}(\mathcal{A}, k)}{\operatorname{argmin}} \mathcal{F}(\Pi) &= \underset{\Pi \in \mathcal{P}(\mathcal{A}, k)}{\operatorname{argmax}} \mathcal{G}(\Pi), \\ \underset{c_1, \dots, c_k \in \mathbb{R}}{\operatorname{argmin}} \mathcal{F}(c_1, \dots, c_k) &= \underset{c_1, \dots, c_k \in \mathbb{R}}{\operatorname{argmax}} \mathcal{G}(c_1, \dots, c_k). \end{aligned}$$

To znači da u cilju pronalaženja LS-optimalne particije, umjesto minimizacije funkcije \mathcal{F} zadane s (16), odnosno (19), možemo maksimizirati funkciju

$$\mathcal{G}(c_1, \dots, c_k) = \sum_{j=1}^k m_j(c_1, \dots, c_k)(c_j - c)^2. \quad (22)$$

Primjer 7. Skup $A = \{0, 3, 6, 9\}$ iz Primjera 6 ima 7 različitih particija i za sve njih u Tablici 2 prikazana je vrijednost kriterijske funkcije cilja \mathcal{G} . Kao što se vidi iz Tablice 2 funkcija \mathcal{G} prima maksimalnu vrijednost na optimalnoj particiji $\{\{0, 3\}, \{6, 9\}\}$, što je u skladu s Teoremom 1.

Primjedba 4. Lako se može provjeriti da je veza između centra c čitavog skupa \mathcal{A} i centara c_j pojedinih klastera π_j zadanih s (17) dana s

$$c = \frac{m_1}{m}c_1 + \cdots + \frac{m_k}{m}c_k.$$

Specijalno, za dva disjunktna skupa realnih brojeva $A = \{x_1, \dots, x_p\}$, $B = \{y_1, \dots, y_q\}$ aritmetička sredina njihove unije jednaka je ponderiranom zbroju njihovih aritmetičkih sredina, tj. vrijedi

$$\overline{A \cup B} = \frac{p}{p+q} \overline{A} + \frac{q}{p+q} \overline{B}.$$

3.2 Kriterij najmanjih apsolutnih odstupanja

Ako je $d: \mathbb{R} \times \mathbb{R} \rightarrow \mathbb{R}_+$, $d(a, b) = |a - b|$ l_1 -metrička funkcija definirana, centri c_1, \dots, c_k klastera π_1, \dots, π_k određeni su s

$$c_j = \underset{u \in \mathbb{R}}{\operatorname{argmin}} \sum_{a_i \in \pi_j} |a_i - u| = \operatorname{med}(\pi_j), \quad j = 1, \dots, k, \quad (23)$$

a funkcija cilja (10), odnosno (13) s

$$\mathcal{F}(c_1, \dots, c_k) = \sum_{j=1}^k \sum_{a_i \in \pi_j} |c_j - a_i|. \quad (24)$$

Ako pri tome iskoristimo (25), onda za izračunavanje funkcije cilja (24) nije potrebno poznavati centre klastera (23), što može značajno ubrzati računski proces.

Zadatak 3. Neka je $\mathcal{A} = \{a_1, \dots, a_m\}$ konačan niz realnih brojeva. Pokažite da vrijedi

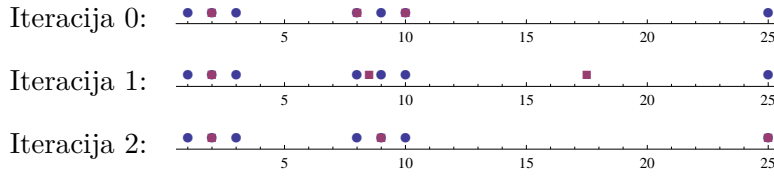
$$\sum_{i=1}^m |a_i - \operatorname{med}(\mathcal{A})| = \sum_{i=1}^k (a_{m-i+1} - a_i). \quad (25)$$

Primjedba 5. U slučaju izbora LAD-kriterija optimalnosti u Koraku 2 Algoritma 2 može se dogoditi da neki centroid ζ_j , može biti proizvoljan broj iz nekog intervala $[\alpha, \beta] \subset \mathbb{R}$. U tom slučaju treba uzeti $\zeta_j = \frac{\alpha+\beta}{2}$.

Primjer 8. Zadan je skup $\mathcal{A} = \{1, 2, 3, 8, 9, 10, 25\}$. Primjenom Algoritma 2 treba pronaći tročlanu particiju što bližu LS-optimalnoj.

R.br.	z_1	z_2	z_3	$F(z_1, z_2, z_3)$	π_1	π_2	π_3	ζ_1	ζ_2	ζ_3	$\mathcal{F}(\{\pi_1, \pi_2, \pi_3\})$
1	2	8	10	228	{1, 2, 3}	{8, 9}	{10, 25}	2	8.5	17.5	115
2	2	8.5	17.5	61	{1, 2, 3}	{8, 9, 10}	{25}	2	9	25	4
3	2	9	25	4	{1, 2, 3}	{8, 9, 10}	{25}	2	9	25	4

Broj svih tročlanih particija ovog skupa je $\frac{1}{2}(3^{m-1} - 2^m + 1) = 301$. U prethodnoj tablici prikazan je tijek iterativnog postupka. Direktnom provjerom svih particija može se pokazati da je Algoritam 2 pronašao upravo optimalnu particiju. Iz ovog primjera vidljivo je da k -means algoritam u smislu LS-optimalnosti daje particiju, koja značajno ovisi o stršećem podatku, tako da upravo stršeći podatak čini zaseban klaster (vidi Sliku 1).



Slika 1: k -means algoritam za traženje lokalno optimalne particije skupa \mathcal{A} iz Primjera 8

Primjer 9. Zadan je skup $\mathcal{A} = \{1, 2, 3, 8, 9, 10, 25\}$ iz Primjera 8. Primjenom Algoritma 2 treba pronaći dvočlanu particiju skupa \mathcal{A} što bližu LAD-optimalnoj.

R.br.	z_1	z_2	$F(z_1, z_2)$	π_1	π_2	ζ_1	ζ_2	$\mathcal{F}(\{\pi_1, \pi_2\})$
1	2	15	29	{1, 2, 3, 8}	{9, 10, 25}	[2, 3]	10	24
2	[2, 3]	10	20	{1, 2, 3}	{8, 9, 10, 25}	2	[9, 10]	20
3	2	[9, 10]	20	{1, 2, 3}	{8, 9, 10, 25}	2	[9, 10]	20

Primjenom Algoritma 2 uz početne centre $c_1 = 2$ i $c_2 = 15$, dobivamo početnu particiju $\Pi = \{\pi_1, \pi_2\}$, $\pi_1 = \{1, 2, 3, 8\}$, $\pi_2 = \{9, 10, 25\}$. U tablici je prikazan tijek iterativnog postupka. Pri tome, centri u Koraku 2 Algoritma 2 birani su u skladu s Primjedbom 5. Direktnom provjerom može se pokazati da je algoritam pronašao upravo LAD-optimalnu particiju. U ovom slučaju stršeći podatak prirodno je pridružen drugom klasteru (vidi Sliku 2).

3.3 Grupiranje podataka s težinama

Pretpostavimo da je zadan skup podataka $\mathcal{A} = \{a_1, \dots, a_m\}$, pri čemu je svakom podatku a_i pridružena odgovarajuća težina $w_i > 0$. Kriterijska funkcija cilja (10) sada postaje

$$\mathcal{F}(\Pi) = \sum_{j=1}^k \sum_{a_i \in \pi_j} w_i d(c_j, a_i). \quad (26)$$

Specijalno, kod primjene kriterija LS-optimalnosti centar c_j klastera π_j određen je težinskom aritmetičkom sredinom podataka iz klastera π_j

$$c_j = \frac{1}{\kappa_j} \sum_{a_i \in \pi_j} w_i a_i, \quad \kappa_j = \sum_{a_i \in \pi_j} w_i, \quad (27)$$

a kod primjene kriterija LAD-optimalnosti centar c_j klastera π_j određen je težinskim medijanom podataka koji pripadaju klasteru π_j [Sabo and Scitovski, 2008, Vazler et al., 2012]

$$c_j = \text{med}_{a_i \in \pi_j}(w_i, a_i). \quad (28)$$

Algoritam 2. (Standardni k-means algoritam)

Step 1: Učitati m, k , elemente skupa \mathcal{A} i težine $w_1, \dots, w_m > 0$;

Izabrati: $\min a_i \leq c_1 < \dots < c_k \leq \max a_i$;

Step 2: Pridruživanje (assignment step)

$$\pi_j = \{a_i \in \mathcal{A} : d(c_j, a_i) \leq d(c_s, a_i), \quad s = 1, \dots, k\}, \quad j = 1, \dots, k;$$

Step 3: Korekcija (update step)

$$\zeta_j = \underset{x \in \mathbb{R}}{\operatorname{argmin}} \sum_{a_i \in \pi_j} w_i d(x, a_i), \quad j = 1, \dots, k;$$

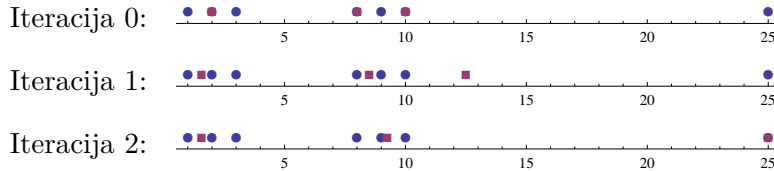
Step 2 i Step 3 se izmjenjuju tako dugo dok se ili centri ne poklope ili dok se particije ne poklope ili dok vrijednost funkcije cilja ne prestane opadati.

Primjer 10. Podacima iz Primjera 9 dodajmo težine kako slijedi: $w_i : 1, 1, .1, .5, .5, 1, .2$. Grušpirat ćemo skup A u $k = 3$ klastera primjenom k-means algoritma uz početne centre kao i ranije. Rezultati su vidljivi u niže navedenoj tablici.

R.br.	z_1	z_2	z_3	F	π_1	π_2	π_3	ζ_1	ζ_2	ζ_3	\mathcal{F}
1	2	8	10	46.6	{1, 2, 3}	{8, 9}	{10, 25}	1, 57143	8.5	12.5	38.4643
2	1.57143	8.5	12.5	34, 4643	{1, 2, 3}	{8, 9, 10}	{25}	1.57143	9.5	25	2.08929
3	1.57143	9.5	25	2.08929	{1, 2, 3}	{8, 9, 10}	{25}	1.57143	9.5	25	2.08929

Prosječno težinsko kvadratno rasipanje po klasterima (varijanca): {0.340136, 0.6875, 0.}

Prosječno težinsko rasipanje po klasterima (standardna devijacija): {0.583212, 0.829156, 0.}



Slika 2: k -means algoritam za traženje lokalno optimalne particije skupa \mathcal{A} iz Primjera 10

4 Grupiranje na osnovi dva obilježja

Neka je $\mathcal{A} = \{a_1, \dots, a_m\}$ skup, koji treba na osnovi dva obilježja grupirati u k klastera koji zadovoljavaju uvjete iz Definicije 1. Primjerice, dane u godini možemo grupirati prema prosječnoj dnevnoj temperaturi izraženoj u $^{\circ}\text{C}$ i količini dnevnih padavina. Svaki element $a_i \in \mathcal{A}$ temeljem tih obilježja reprezentirat ćemo jednim vektorom $(x_i, y_i) \in \mathbb{R}^2$, kojeg ćemo označiti s \mathbf{a}_i . Nadalje, zbog jednostavnosti elemente skupa \mathcal{A} identificirat ćemo s tim vektorima i govoriti o skupu podataka-vektora među kojima može biti i jednakih.

Ako je zadana neka kvazimetrička funkcija $d: \mathbb{R}^2 \times \mathbb{R}^2 \rightarrow \mathbb{R}_+$, onda svakom klasteru $\pi_j \in \Pi$ možemo pridružiti njegov centar \mathbf{c}_j na sljedeći način

$$\mathbf{c}_j = c(\pi_j) := \operatorname{argmin}_{\mathbf{x} \in \mathbb{R}^2} \sum_{\mathbf{a}_i \in \pi_j} d(\mathbf{x}, \mathbf{a}_i). \quad (29)$$

Kod problema grupiranja podataka u općem slučaju najčešće korištene kvazimetričke funkcije $d: \mathbb{R}^n \times \mathbb{R}^n \rightarrow \mathbb{R}_+$ su [Ben-Israel and Iyigun, 2008, Gan et al., 2007, Kogan, 2007]

$$d(\mathbf{x}, \mathbf{y}) = \|\mathbf{x} - \mathbf{y}\|_2^2 \quad (\text{least squares udaljenost}) \quad (30)$$

$$d(\mathbf{x}, \mathbf{y}) = \|\mathbf{x} - \mathbf{y}\|_1 \quad (\text{Manhattan udaljenost}) \quad (31)$$

$$d(\mathbf{x}, \mathbf{y}) = \frac{1}{2}(\mathbf{x} - \mathbf{y})\mathbf{Q}(\mathbf{x} - \mathbf{y})^T, \quad \mathbf{Q} > 0, \quad \mathbf{Q}^T = \mathbf{Q} \quad (\text{Mahalanobisova udaljenost})$$

$$d(\mathbf{x}, \mathbf{y}) = \sum_i \mathbf{x}_i \left(\ln \frac{\mathbf{x}_i}{\mathbf{y}_i} - \mathbf{x}_i + \mathbf{y}_i \right), \quad \mathbf{x}, \mathbf{y} \in \mathbb{R}_+^n \quad (0 \ln 0 := 0) \quad (\text{Kullback–Leiblerova udaljenost})$$

Na skupu svih particija $\mathcal{P}(\mathcal{A}, k)$ skupa \mathcal{A} sastavljenih od k klastera, potpuno analogno kao i ranije, definiramo kriterijsku funkciju cilja $\mathcal{F}: \mathcal{P}(\mathcal{A}, k) \rightarrow \mathbb{R}_+$,

$$\mathcal{F}(\Pi) = \sum_{j=1}^k \sum_{\mathbf{a}_i \in \pi_j} d(\mathbf{c}_j, \mathbf{a}_i), \quad (32)$$

a d -optimalnu particiju Π^* tražimo rješavanjem optimizacijskog problema

$$\mathcal{F}(\Pi^*) = \min_{\Pi \in \mathcal{P}(\mathcal{A}, k)} \mathcal{F}(\Pi). \quad (33)$$

Pri tome, funkcija cilja (32) također može imati više lokalnih minimuma, koje također možemo tražiti primjenom Algoritma 2.

Primijetite da na taj način optimalna particija Π^* ima svojstvo da je suma "rasipanja" (suma odstupanja) elemenata klastera oko svog centra minimalna. Na taj način nastojimo postići što bolju unutrašnju kompaktnost i separiranost klastera.

Obratno, za dani skup centara $c_1, \dots, c_k \in \mathbb{R}^2$, uz primjenu principa minimalnih udaljenosti možemo definirati particiju $\Pi = \{\pi_1, \dots, \pi_k\}$ skupa \mathcal{A} na sljedeći način:

$$\pi_j = \{a \in \mathcal{A} : d(c_j, a) \leq d(c_s, a), \forall s = 1, \dots, k\}, \quad j = 1, \dots, k, \quad (34)$$

pri čemu treba voditi računa o tome da svaki element skupa \mathcal{A} pripadne samo jednom klasteru.

Voronoijev dijagram

Zato se problem traženja optimalne particije skupa \mathcal{A} može svesti na sljedeći optimizacijski problem

$$\min_{c_1, \dots, c_k \in \mathbb{R}} F(c_1, \dots, c_k), \quad F(c_1, \dots, c_k) = \sum_{i=1}^m \min_{j=1, \dots, k} d(c_j, a_i), \quad (35)$$

gdje je $F: \mathbb{R}^{2k} \rightarrow \mathbb{R}_+$. Općenito, ova funkcija nije konveksna ni diferencijabilna, a može imati više lokalnih minimuma [Gan et al., 2007, Iyigun and Ben-Israel, 2010, Teboulle, 2007].

Optimizacijski problem (35) u literaturi se može naći pod nazivom *k-median problem* i ekvivalentan je optimizacijskom problemu (33). Naime, vrijedi

$$\begin{aligned} F(c_1, \dots, c_k) &:= \sum_{i=1}^m \min\{d(c_1, a_i), \dots, d(c_k, a_i)\} \\ &\geq \sum_{j=1}^k \sum_{a_i \in \pi_j} \min\{d(c_1, a_i), \dots, d(c_k, a_i)\} \\ &= \sum_{j=1}^k \sum_{a_i \in \pi_j} d(c_j, a_i) =: \mathcal{F}(\Pi), \end{aligned}$$

gdje je $\Pi = \{\pi_1, \dots, \pi_k\}$,

$$\pi_j = \pi_j(c_1, \dots, c_k) = \{a \in \mathcal{A}: d(c_j, a) \leq d(c_s, a), \forall s = 1, \dots, k\},$$

odnosno

$$\pi_j = \pi_j(c_1, \dots, c_k) = \{a_i \in \mathcal{A}: j = \operatorname{argmin}_{s=1, \dots, k} d(c_s, a_i)\},$$

pri čemu jednakost vrijedi ako je Π lokalno ili globalno optimalna particija.

4.1 Princip najmanjih kvadrata

Definicija 2. Neka je $\mathcal{A} = \{\mathbf{a}_i = (x_i, y_i) \in \mathbb{R}^2 : i = 1, \dots, m\}$ skup vektora iz \mathbb{R}^2 . Kažemo da je particija $\Pi^* = \{\pi_1^*, \dots, \pi_k^*\}$ optimalna u smislu najmanjih kvadrata (skraćeno: LS-optimalna) ako je kvazimetrička funkcija $d: \mathbb{R}^2 \times \mathbb{R}^2 \rightarrow \mathbb{R}_+$ definirana s (30), a Π^* rješenje optimizacijskog problema (32)–(33).

Primjetite da funkcija (30) nije metrika jer ne zadovoljava nejednakost trokuta. Centri $\mathbf{c}_1, \dots, \mathbf{c}_k$ klastera π_1, \dots, π_k određeni su s

$$\mathbf{c}_j = \operatorname{argmin}_{\mathbf{u} \in \mathbb{R}^2} \sum_{\mathbf{a}_i \in \pi_j} \|\mathbf{a}_i - \mathbf{u}\|_2^2 = \frac{1}{|\pi_j|} \sum_{\mathbf{a}_i \in \pi_j} \mathbf{a}_i, \quad j = 1, \dots, k, \quad (36)$$

a funkcija cilja (32) s

$$\mathcal{F}(\Pi) = \sum_{j=1}^k \sum_{\mathbf{a}_i \in \pi_j} \|\mathbf{c}_j - \mathbf{a}_i\|_2^2 \quad (37)$$

Primjer 11. Za skup $\mathcal{A} = \{\mathbf{a}_1 = (0, 0), \mathbf{a}_2 = (1, 0), \mathbf{a}_3 = (1, 1), \mathbf{a}_4 = (0, 1)\}$ odredit ćemo sve dvočlane particije, koje zadovoljavaju Definiciju 1, a nakon toga odgovarajuće centroide i vrijednosti funkcije cilja (37) u smislu LS-optimalnosti.

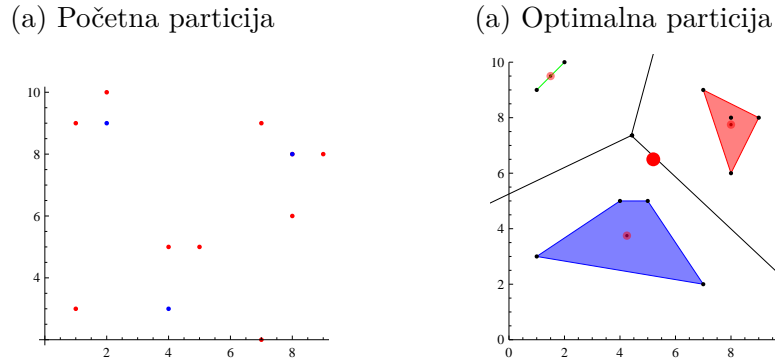
π_1	π_2	\mathbf{c}_1	\mathbf{c}_2	$\mathcal{F}(\Pi)$	$\mathcal{G}(\Pi)$
$\{\mathbf{a}_1\}$	$\{\mathbf{a}_2, \mathbf{a}_3, \mathbf{a}_4\}$	\mathbf{a}_1	$\left(\frac{2}{3}, \frac{2}{3}\right)$	$0 + \frac{4}{3} \approx 1.3$	$\frac{1}{2} + \frac{1}{6} \approx 0.6$
$\{\mathbf{a}_2\}$	$\{\mathbf{a}_1, \mathbf{a}_3, \mathbf{a}_4\}$	\mathbf{a}_2	$\left(\frac{1}{3}, \frac{2}{3}\right)$	$0 + \frac{4}{3} \approx 1.3$	$\frac{1}{2} + \frac{1}{6} \approx 0.6$
$\{\mathbf{a}_3\}$	$\{\mathbf{a}_1, \mathbf{a}_2, \mathbf{a}_4\}$	\mathbf{a}_3	$\left(\frac{1}{3}, \frac{1}{3}\right)$	$0 + \frac{4}{3} \approx 1.3$	$\frac{1}{2} + \frac{1}{6} \approx 0.6$
$\{\mathbf{a}_4\}$	$\{\mathbf{a}_1, \mathbf{a}_2, \mathbf{a}_3\}$	\mathbf{a}_4	$\left(\frac{2}{3}, \frac{1}{3}\right)$	$0 + \frac{4}{3} \approx 1.3$	$\frac{1}{2} + \frac{1}{6} \approx 0.6$
$\{\mathbf{a}_1, \mathbf{a}_2\}$	$\{\mathbf{a}_3, \mathbf{a}_4\}$	$\left(\frac{1}{2}, 0\right)$	$\left(\frac{1}{2}, 1\right)$	$\frac{1}{2} + \frac{1}{2} = 1$	$\frac{1}{2} + \frac{1}{2} = 1$
$\{\mathbf{a}_1, \mathbf{a}_4\}$	$\{\mathbf{a}_2, \mathbf{a}_3\}$	$\left(0, \frac{1}{2}\right)$	$\left(1, \frac{1}{2}\right)$	$\frac{1}{2} + \frac{1}{2} = 1$	$\frac{1}{2} + \frac{1}{2} = 1$
$\{\mathbf{a}_1, \mathbf{a}_3\}$	$\{\mathbf{a}_2, \mathbf{a}_4\}$	$\left(\frac{1}{2}, \frac{1}{2}\right)$	$\left(\frac{1}{2}, \frac{1}{2}\right)$	$1 + 1 = 2$	$0 + 0 = 0$

Broj svih dvočlanih particija ovog skupa je $2^{m-1} - 1 = 7$, a kao što se vidi iz tablice, dvije particije $\{\{\mathbf{a}_1, \mathbf{a}_2\}, \{\mathbf{a}_3, \mathbf{a}_4\}\}$ i $\{\{\mathbf{a}_1, \mathbf{a}_4\}, \{\mathbf{a}_2, \mathbf{a}_3\}\}$ su optimalne jer na njima kriterijska funkcija cilja (37) postiže globalni minimum (vidi sliku).

Primjer 12. Zadan je skup $\mathcal{A} = \{\mathbf{a}_i = (x_i, y_i) \in \mathbb{R}^2 : i = 1, \dots, m\}$

i	1	2	3	4	5	6	7	8	9	10
x_i	5	1	2	7	8	1	7	4	8	9
y_i	5	3	10	2	8	9	9	5	6	8

Uz početne centre $c_1 = (2, 9)$, $c_2 = (4, 3)$, $c_3 = (8, 8)$, primjenom LS-kvazimetričke funkcije i Algoritma 2 dobivamo lokalno optimalnu particiju $\Pi = \{\pi_1, \pi_2, \pi_3\}$ s centrima $c_1^* = (\frac{3}{2}, \frac{19}{2})$, $c_2^* = (\frac{17}{4}, \frac{15}{4})$, $c_3^* = (8, \frac{31}{4})$ (vidi Sliku 3). Vrijednost funkcije cilja je $\mathcal{F} = \frac{133}{4} = 1 + \frac{51}{2} + \frac{27}{4}$.



Slika 3: k -means algoritam za traženje lokalno optimalne particije skupa \mathcal{A} iz Primjera 12

4.1.1 Dualni problem

Analogno, kao u jednodimenzionalnom slučaju može se pokazati da vrijedi

$$\sum_{i=1}^m \|\mathbf{a}_i - \mathbf{c}\|_2^2 = \sum_{j=1}^k \sum_{\mathbf{a}_i \in \pi_j} \|\mathbf{c}_j - \mathbf{a}_i\|_2^2 + \sum_{j=1}^k m_j \|\mathbf{c}_j - \mathbf{c}\|_2^2, \quad (38)$$

gdje je $\mathbf{c} = \frac{1}{m} \sum_{i=1}^m \mathbf{a}_i$ centar skupa \mathcal{A} , a $m_j = |\pi_j|$. Zato umjesto minimizacije funkcije \mathcal{F} zadane s (37) optimalnu LS-particiju možemo tražiti maksimizacijom funkcije

$$\mathcal{G}(\Pi) = \sum_{j=1}^k m_j \|\mathbf{c}_j - \mathbf{c}\|_2^2. \quad (39)$$

Određenim prilagođavanjem [Dhillon et al., 2004] problem se svodi na poznate probleme i metode linearne algebре.

Primjer 13. Skup \mathcal{A} iz Primjera 11 ima 7 različitih particija i za sve njih u tablici je prikazana vrijednost kriterijske funkcije cilja \mathcal{G} . Kao što se vidi, funkcija \mathcal{G} prima maksimalnu vrijednost na optimalnim particijama $\{\{\mathbf{a}_1, \mathbf{a}_2\}, \{\mathbf{a}_3, \mathbf{a}_4\}\}$ i $\{\{\mathbf{a}_1, \mathbf{a}_4\}, \{\mathbf{a}_2, \mathbf{a}_3\}\}$.

4.2 Princip najmanjih absolutnih odstupanja

Definicija 3. Neka je $\mathcal{A} = \{\mathbf{a}_i = (x_i, y_i) \in \mathbb{R}^2 : i = 1, \dots, m\}$ skup vektora iz \mathbb{R}^2 . Kažemo da je particija $\Pi^* = \{\pi_1^*, \dots, \pi_k^*\}$ optimalna u smislu najmanjih absolutnih odstupanja (skraćeno: LAD-optimalna) ako je kvazimetrička funkcija $d : \mathbb{R}^2 \times \mathbb{R}^2 \rightarrow \mathbb{R}_+$ definirana s (31), a Π^* rješenje optimizacijskog problema (32)–(33).

Centri $\mathbf{c}_1, \dots, \mathbf{c}_k$ klastera π_1, \dots, π_k određeni su s

$$\mathbf{c}_j = \operatorname{argmin}_{\mathbf{u} \in \mathbb{R}^2} \sum_{\mathbf{a}_i \in \pi_j} \|\mathbf{a}_i - \mathbf{u}\|_1 = (\operatorname{med}(x), \operatorname{med}(y)) =: \operatorname{med}(\pi_j), \quad j = 1, \dots, k, \quad (40)$$

gdje je $x = (x_1, \dots, x_n)$, $y = (y_1, \dots, y_m) \in \mathbb{R}^m$, a funkcija cilja (32) zadana je s

$$\mathcal{F}(\Pi) = \sum_{j=1}^k \sum_{\mathbf{a}_i \in \pi_j} \|\mathbf{c}_j - \mathbf{a}_i\|_1 \quad (41)$$

Primjedba 6. Kao što smo u Odjeljku 3.3 razmatrali problem grupiranja jednodimenzionalnih težinskih podataka, slično bi mogli postupiti i u slučaju grupiranja težinskih dvodimenzionalnih i višedimenzionalnih podataka [Vazler et al., 2012].

4.3 Primjena Mahalanobis udaljenosti

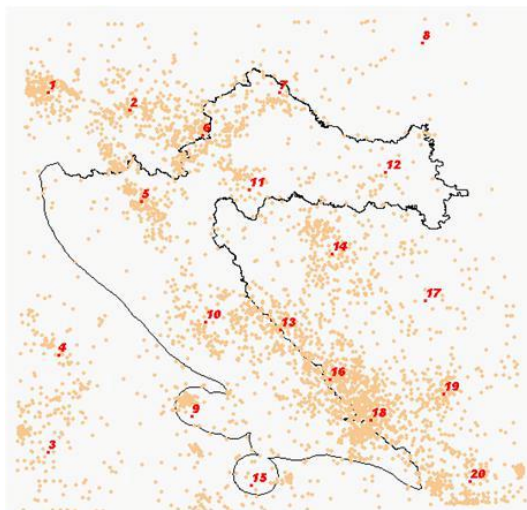
Vidi nastavni materijal [Reprezentant](#).

5 Neke primjene

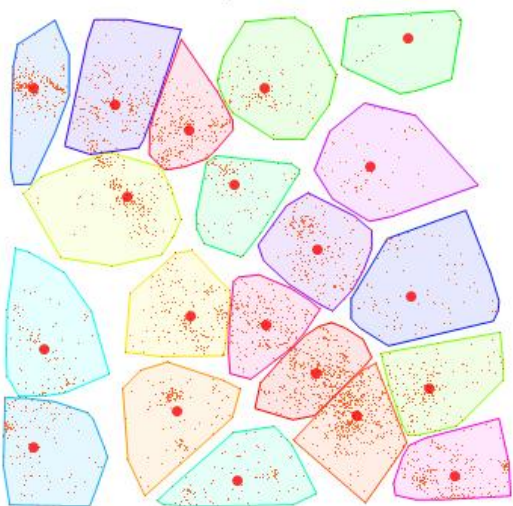
5.1 Detekcija centara seiizmičkih aktivnosti

Reference: [Cho et al., 2010, Colombo et al., 1997, Stipčević et al., 2011]

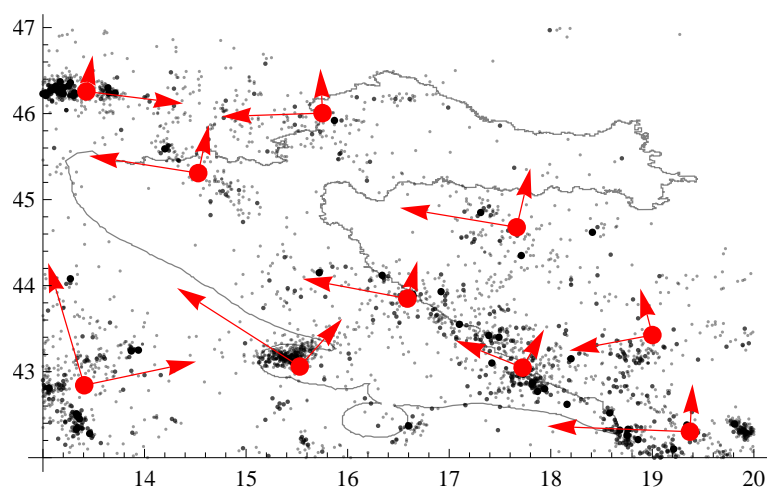
a) Lokacije potresa

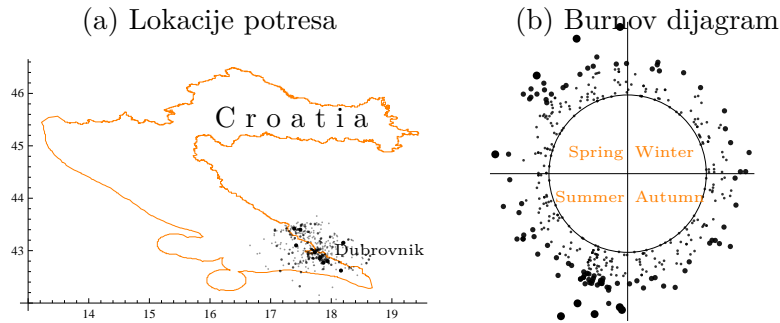


b) k=20



WLS-centers	WM-centers	N_5/N_{WLS}	N_5/N_{WM}	Location	Position
(13.39, 42.88)	(13.41, 42.84)	10/419	10/413	Ascoli Piceno (Italy)	(13.57, 42.85)
(13.35, 46.23)	(13.43, 46.26)	20/336	20/345	Udine (Italy)	(13.23, 46.08)
(14.74, 45.64)	(14.53, 45.31)	3/269	3/176	Kočevje (Slovenia)	(14.86, 45.63)
(15.47, 43.14)	(15.53, 43.06)	3/532	4/546	Šibenik (Croatia)	(15.88, 43.72)
(16.21, 45.89)	(15.75, 46.01)	3/129	3/210	Zagreb (Croatia)	(16.02, 45.82)
(16.63, 43.83)	(16.59, 43.85)	6/232	6/287	Simj (Croatia)	(16.64, 43.70)
(17.59, 43.03)	(17.72, 43.05)	13/437	11/402	Metković (Croatia)	(17.64, 43.05)
(17.69, 44.64)	(17.66, 44.68)	4/186	4/180	Banja Luka (Bosnia and Herzegovina)	(17.19, 44.75)
(18.94, 43.24)	(19.00, 43.43)	2/220	1/163	Žabljak (Montenegro)	(19.11, 43.15)
(19.42, 42.26)	(19.37, 42.30)	9/424	11/462	Podgorica (Montenegro)	(19.27, 42.41)





Slika 4: Seizmička aktivnost u području Dubrovnika od 1973.

	$\{c_1\}$	$\{c_1, c_2\}$	$\{c_1, c_2, c_3\}$	$\{c_1, c_2, c_3, c_4\}$
Alg. 2	$\{4.15\}$	$\{1.67, 4.15\}$	$\{1.90, 4.46, 6.09\}$	$\{2.29, 2.52, 4.38, 6.24, \}$
Obj.Fun.	1922	1032	726	554
Alg. 1	-	$\{1.90, 4.46\}$	$\{2.29, 4.38, 6.24\}$	$\{1.59, 2.60, 4.38, 6.09\}$
Obj.Fun.	-	964	638	517
dd:mm	/ 05:04 /	/ 19:03 / 16:08 /	/ 11:04 / 11:08 / 28:11 /	/ 01:03 / 29:04 / 11:08 / 19:11 /

Tablica 2: Trenuci najintenzivnije seizmičke aktivnosti u godini

5.2 Istraživanje i predviđanje mogućnosti poplave na nekom mjestu riječnog toka

Reference: [Parajka et al., 2010]

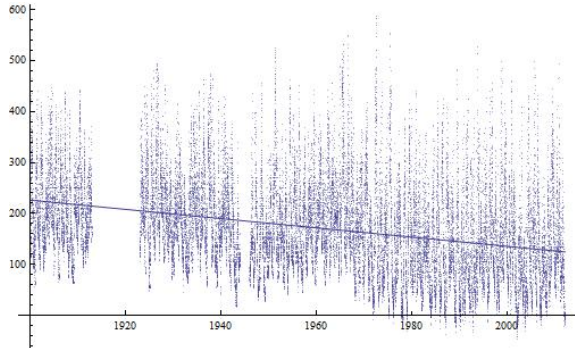
(T_i, w_i) , $i = 1, \dots, N$, $T_i \in [0, 112]$ (podaci između 1900-1-1 i 2012-2-1)

w_i (izmjereni vodostaj na dan T_i)

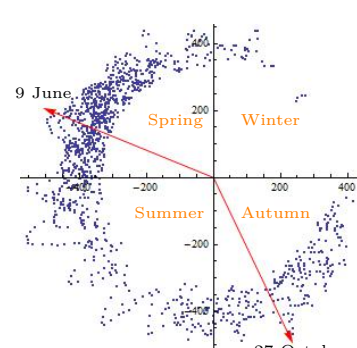
$t_i = 2\pi T_i (\text{mod } 2\pi) \in [0, 2\pi]$, (transformirani datumi)

$$\mathcal{A} = \{a_i = w_i(\cos t_i, \sin t_i) \in \mathbb{R}^2 : w_i - l(t_i) \geq 100\}$$

(a) Vodostaj kod D.Miholjac: 1900 – 2012

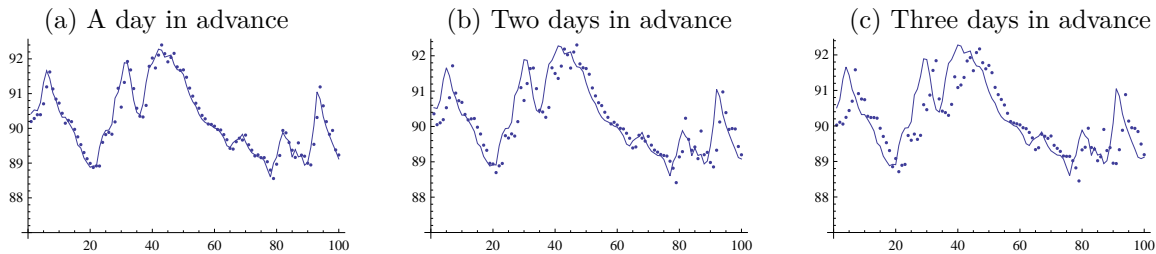


(b) Burnov dijagram

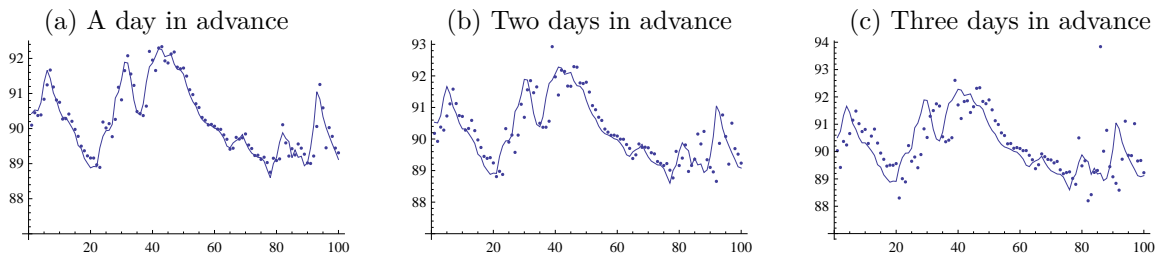


5.3 Kratkoročna prognoza vremenskih nizova

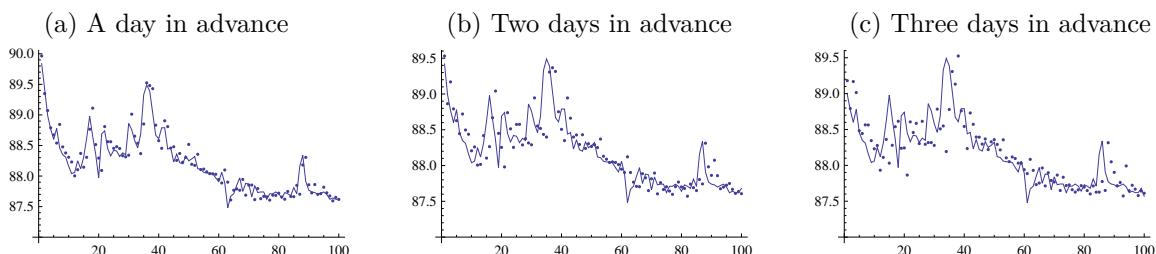
Reference: [Parajka et al., 2010, Wu et al., 2008]



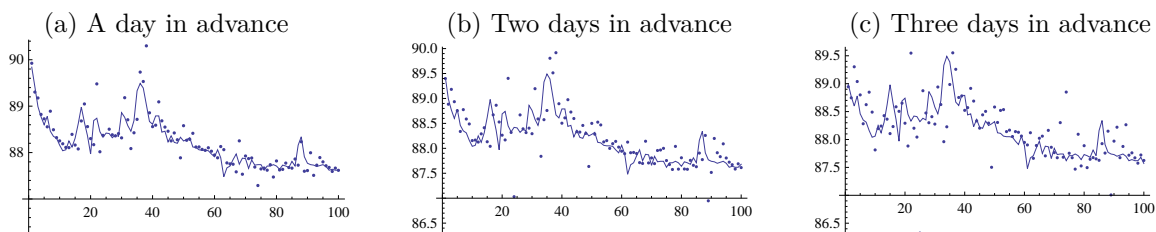
Slika 5: LAD water level prediction from 5 October 2000 to 12 January 2001



Slika 6: LS water level prediction from 5 October 2000 to 12 January 2001



Slika 7: LAD water level prediction from 18 September 2011 to 26 December 2011



Slika 8: LS water level prediction from 18 September 2011 to 26 December 2011

5.4 Predviđanje satne potrošnje prirodnog plina

Reference: [Sabo et al., 2011b]

5.5 Prihvatljivo definiranje izbornih jedinica

Reference: [Sabo et al., 2012]

5.6 Upravljanje pokretnim objektima bez prisutnosti čovjeka

Reference: V. Leemans, M.-F. Destain, *Line cluster detection using a variant of the Hough transform for culture row localisation*, Image and Vision Computing 24(2006) 541–55
 G.Hamarneh, K.Althoff, R. Abu-Gharbieh, *Automatic Line Detection with Hough Transform*, Project Report for the Computer Vision Course, Lund, May 5-7 and August 19-20, 1999

5.7 Prepoznavanje govora

M.El-Wakdy, E.El-Sehely, M.El-Tokhy, A.El-Hennawy, Speech recognition using a wavelet transform to establish fuzzy inference system through subtractive clustering and neural network (ANFIS) 12th WSEAS Int. Conf. on SYSTEMS, Heraklion, Greece, 22-24 June 2008

5.8 Pretraživanje teksta

Primjer 14. U nekom tekstu prisutnost neke riječi kodira se s 1, a odsutnost te riječi iz teksta s 0. Postavlja se pitanje o sličnosti/različitosti dva teksta obzirom na prisutnost/odsutnost promatranih riječi. Tekst u kome je prisutno/odsutno $n \geq 1$ izabranih riječi prikazat ćemo vektorom iz \mathbb{R}^n s komponentama 0 ili 1. Primjerice, sljedećim vektorima prikazani su tekstovi u kojima su prisutne/odsutne riječi A,B,C:

- $a^1 = (1, 1, 0)$: tekst u kome se pojavljuju riječi A,B, a ne pojavljuje riječ C
- $a^2 = (1, 0, 0)$: tekst u kome se pojavljuje riječ A, a ne pojavljuje riječi B,C
- $a^3 = (1, 0, 1)$: tekst u kome se pojavljuju riječi A, C, a ne pojavljuje riječ B
- $a^4 = (0, 0, 1)$: rečenica u kojoj se pojavljuje riječ C, a ne pojavljuju riječi A, B

U svrhu ispitivanja sličnosti/različitosti tekstova obzirom na prisutnost/odsutnost nekih riječi možemo pokušati iskoristiti ranije spomenute metričke funkcije d_1, d_2, d_∞ . U znanstvenoj literaturi (vidi primjerice [Berry et al., 1999, Chaovalltwongse et al., 2009]) u tu svrhu koriste se neke tzv. kvazimetričke funkcije, kao što su

$$d_{LS}(x, y) = \|x - y\|^2 \quad \text{– Least Squares (LS) kvazimetrička funkcija}$$

$$d_c(x, y) = 1 - \frac{\langle x, y \rangle}{\|x\| \cdot \|y\|} \quad \text{– kosinus kvazimetrička funkcija}$$

Od kvazimeričkih funkcija zahtijeva se samo svojstvo pozitivne definitnosti, dok ostala svojstva metričkih funkcija ne moraju biti ispunjena. Ipak prethodno spomenute dvije kvazimeričke funkcije, pored svojstva pozitivne definitnosti, zadovoljavaju i svojstvo simetričnosti, ali ne zadovoljavaju nejednakost trokuta. Za prethodno spomenuti primjer dobivamo

$$\begin{aligned} d_{LS}(a^1, a^2) &= 1, & d_{LS}(a^1, a^3) &= 2, & d_{LS}(a^1, a^4) &= 3 \\ d_1(a^1, a^2) &= 1, & d_1(a^1, a^3) &= 2, & d_1(a^1, a^4) &= 3, \\ d_c(a^1, a^2) &= 1 - \frac{\sqrt{2}}{2} = 0.29, & d_c(a^1, a^3) &= \frac{1}{2}, & d_c(a^1, a^4) &= 1 \end{aligned}$$

Prema LS-kvazimetričkoj funkciji (a također i prema l_1 -metričkoj funkciji) tekstovi a^1 i a^2 su najsličniji (najbliži), a tekstovi a^1 i a^4 najrazličitiji (najudaljeniji) obzirom na pojavu riječi A,B,C.

I prema kosinus-metričkoj funkciji d_c tekstovi a^1 i a^2 su najsličniji (najbliži), a tekstovi a^1 i a^4 potpuno različiti (maksimalno udaljeni) obzirom na pojavu riječi A,B,C.

Primjer 15. Promatramo tekstove u kojima se mogu pojaviti riječi: A,B,C,D,E. Neka je primjerice:

$a^1 = (1, 0, 0, 0, 1)$: tekst u kome se pojavljuju riječi A, E, a ne pojavljuju riječi B, C, D

$a^2 = (0, 1, 1, 0, 0)$: tekst u kome se pojavljuju riječi B, C, a ne pojavljuju riječi A, D, E

$a^3 = (1, 0, 0, 0, 0)$: tekst u kome se pojavljuje riječe A, a ne pojavljuju riječi B, C, D, E

$d_{LS}(a^i, a^j)$	a^1	a^2	a^3	$d_1(a^i, a^j)$	a^1	a^2	a^3	$d_c(a^i, a^j)$	a^1	a^2	a^3
a^1	0	4	1	a^1	0	4	1	a^1	0	1	0.29
a^2	4	0	3	a^2	4	0	3	a^2	1	0	1
a^3	1	3	0	a^3	1	3	0	a^3	0.29	1	0

Iz ovog primjera vidi se da kosinus-kvazimetrička funkcija puno bolje identificira sličnosti/različitosti tekstova obzirom na prisutnost/odsutnost riječi A,B,C,D,E (objasnite to na osnovi brojeva iz tablica!).

Literatura

- F. AURENHAMMER, R. KLEIN, *Voronoi diagrams*, In: J. SACK, G. URRUTIA, editors, *Handbook of Computational Geometry, Chapter V*. Elsevier Science Publishing, 2000, 201–290.
- M. S. BAZARAA, H. D. SHERALI, C. M. SHETTY, *Nonlinear Programming: Theory and Algorithms, 3rd Edition*, Wiley, New Jersey, 2006.
- A. BEN-ISRAEL, C. IYIGUN, *Probabilistic d-clustering*, Journal of Classification, **25**(2008) 5–26, URL <http://dx.doi.org/10.1007/s00357-008-9002-z>.
- M. W. BERRY, Z. DRMAČ, E. R. JESSUP, *Using linear algebra for information retrieval*, SIAM Review, **41**(1999) 335–362.
- D. L. BOLEY, *Principal direction divisive partitioning*, Data Mining and Knowledge Discovery, **2**(1998) 325–344.
- J. F. BONNANS, J. C. GILBERT, C. LEMARECHAL, C. A. SAGASTIZABAL, *Numerical Optimization. Theoretical and Practical Aspects*, Springer-Verlag, Berlin, 2006.
- D. L. BOYD, L. VANDENBERGHE, *Convex optimization*, Cambridge University Press, Cambridge, 2004.
- J. BRIMBERG, H. JUEL, A. SCHÖBEL, *Properties of three-dimensional median line location models*, Annals of Operations Research, **122**(2003) 71–85.
- J. A. CADZOW, *Minimum l_1 , l_2 and l_∞ norm approximate solutions to an overdetermined system of linear equations*, Digital Signal Processing, **12**(2002) 524–560.

- W. A. CHAOVALITWONGSE, S. BUTENKO, P. M. PARDALOS, editors, *Clustering Challenges in Biological Networks*. World Scientific, 2009.
- N. F. CHO, K. F. TIAMPO, S. D. MCKINNON, J. A. VALLEJOS, W. KLEIN, , R. DOMINGUEZ, *A simple metric to quantify seismicity clustering*, Nonlin. Processes Geophys., **17**(2010) 293–302.
- D. COLOMBO, V. GITIS, R. DE FRANCO, *Application of pattern recognition techniques to long-term earthquake prediction in central costa rica*, Engineering Geology, **48**(1997) 7–18.
- A. CORD, C. AMBROISE, J.-P. COCQUEREZ, *Feature selection in robust clustering based on laplace mixture*, Pattern Recognition Letters, **27**(2006) 627–635.
- R. CUPEC, R. GRBIĆ, K. SABO, R. SCITOVSKI, *Three points method for searching the best least absolute deviations plane*, Applied Mathematics and Computation, **215**(2009) 983–994.
- D. DAVIES, D. BOULDIN, *A cluster separation measure*, IEEE Transactions on Pattern Analysis and Machine Intelligence, **2**(1979) 224–227.
- W. H. E. DAY, H. EDELSBRUNNER, *Efficient algorithms for agglomerative hierarchical clustering methods*, Journal of Classification, **1**(1984) 7–24.
- E. DEMIDENKO, *Criteria for unconstrained global optimization*, J. Optim. Theory Appl., **136**(2008) 375–395.
- J. J. DENNIS, R. SCHNABEL, *Numerical Methods for Unconstrained Optimization and Nonlinear Equations*, SIAM, Philadelphia, 1996.
- I. S. DHILLON, Y. GUAN, B. KULIS, *Kernel k-means, spectral clustering and normalized cuts*, In: *Proceedings of the 10-th ACM SIGKDD International Conference on Knowledge Discovery and Data Mining (KDD)*, August 22–25, 2004, Seattle, Washington, USA. 2004, 551–556.
- D. DI SERAFINO, G. LIUZZI, V. PICCIALLI, F. RICCIO, G. TORALDO, *A modified dividing rectangles algorithm for a problem in astrophysics*, J Optim Theory Appl, **151**(2011) 175–190.
- Y. DODGE, *An introduction to l_1 -norm based statistical data analysis*, Computational Statistics & Data Analysis, **5**(1987) 239–253.
- B. DURAK, *A Classification Algorithm Using Mahalanobis Distances Clustering of Data with Applications on Biomedical Data Set*, Ph.D. thesis, The Graduate School of Natural and Applied Sciences of Middle East Technical University, 2011.
- B. S. EVERITT, S. LANDAU, M. LEESE, *Cluster analysis*, Wiley, London, 2001.
- Y. G. EVTUSHENKO, *Numerical Optimization Techniques (Translations Series in Mathematics and Engineering)*, Springer-Verlag, Berlin, 1985.
- D. E. FINKEL, *DIRECT Optimization Algorithm User Guide*, Center for Research in Scientific Computation. North Carolina State University, 2003, <http://www4.ncsu.edu/definkel/research/index.html>.
- C. A. FLOUDAS, C. E. GOUNARIS, *A review of recent advances in global optimization*, Journal of Global Optimization, **45**(2009) 3–38.

- J. M. GABLONSKY, *Direct version 2.0*, Technical report, Center for Research in Scientific Computation. North Carolina State University, 2001.
- G. GAN, C. MA, J. WU, *Data Clustering: Theory, Algorithms, and Applications*, SIAM, Philadelphia, 2007.
- C. GURWITZ, *Weighted median algorithms for l_1 approximation*, BIT, **30**(1990) 301–310.
- C. IYIGUN, *Probabilistic distance clustering*, Ph.D. thesis, Graduate School – New Brunswick, Rutgers, 2007.
- C. IYIGUN, A. BEN-ISRAEL, *Contour approximation of data: A duality theory*, Linear Algebra and its Applications, **430**(2009) 2771–2780.
- C. IYIGUN, A. BEN-ISRAEL, *A generalized weiszfeld method for the multi-facility location problem*, Operations Research Letters, **38**(2010) 207–214.
- D. R. JONES, C. D. PERTTUNEN, B. E. STUCKMAN, *Lipschitzian optimization without the Lipschitz constant*, Journal of Optimization Theory and Applications, **79**(1993) 157–181.
- C. S. KAPLAN, *Voronoi diagrams and ornamental design*, In: N. A. FRIEDMAN, J. BARRALO, editors, *Proceedings of ISAMA '99*. 1999, 277–283.
- L. KAUFMAN, P. J. ROUSSEEUW, *Finding groups in data: An introduction to cluster analysis*, John Wiley & Sons, Hoboken, 2005.
- J. KOGAN, *Introduction to Clustering Large and High-dimensional Data*, Cambridge University Press, 2007.
- J. KOGAN, M. TEBOULLE, *Scaling clustering algorithms with bregman distances*, In: M. W. BERRY, M. CASTELLANOS, editors, *Proceedings of the Workshop on Text Mining at the Sixth SIAM International Conference on Data Mining*. 2006.
- D. E. KVASOV, Y. D. SERGEYEV, *A univariate global search working with a set of lipschitz constants for the first derivative*, Optimization Letters, **3**(2009) 303–318.
- D. E. KVASOV, Y. D. SERGEYEV, *Univariate geometric lipschitz global optimisation algorithms*, Numerical Algebra, Control and Optimization, **2**(2012) 69–90.
- F. LEISCH, *A toolbox for k-centroids cluster analysis*, Computational Statistics & Data Analysis, **51**(2006) 526–544.
- J. MOCKUS, *On the pareto optimality in the context of lipschitzian optimization*, Informatica, **22**(2011) 524–536.
- A. NEUMAIER, *Complete search in continuous global optimization and constraint satisfaction*, Acta Numerica, **13**(2004) 271 – 369.
- M. NG, *A note on constrained k-means algorithms*, Pattern Recognition, **33**(2000) 525–519.
- Y. NIEVERGELT, *Total least squares: state-of-the-art regression in numerical analysis*, SIAM Review, **36**(1994) 258–264.

- K. NYARKO, R. SCITOVSKI, *Solving the parameter identification problem of mathematical model using genetic algorithms*, Applied Mathematics and Computation, **153**(2004) 651–658.
- A. OKABE, B. BOOTS, K. SUGIHARA, *Spatial Tessellations: Concepts and Applications of Voronoi diagrams*, John Wiley & Sons, Chichester, UK, 2000.
- J. PARAJKA, S. KOHNOVÁ, G. BÁLINT, M. BARBUC, M. BORGÀ, P. CLAPS, S. C. A. DUMITRESCU, E. GAUME, K. HLAVČOVÁ, R. MERZ, M. PFAUNDLER, G. STANCALIE, J. SZOLGAY, G. BLÖSCHL, *Seasonal characteristics of flood regimes across the alpine–carpathian range*, Journal of Hydrology, **394**(2010) 78–89.
- P. M. PARDALOS, P. HANSEN, *Data mining and mathematical programming*, In: -. American Mathematical Society, Providence, 2008.
- S. A. PIJAVSKIJ, *An algorithm for searching for a global minimum of a function*, USSR Computational Mathematics and Mathematical Physics, **12**(1972) 888–896, (in Russian).
- P. J. ROUSSEEUW, A. M. LEROY, *Robust Regression and Outlier Detection*, Wiley, New York, 2003.
- A. RUSZCZYNSKI, *Nonlinear Optimization*, Princeton University Press, Princeton and Oxford, 2006.
- K. SABO, R. SCITOVSKI, *The best least absolute deviations line – properties and two efficient methods*, ANZIAM Journal, **50**(2008) 185–198.
- K. SABO, R. SCITOVSKI, I. VAZLER, *Data clustering (in croatian)*, Osječki matematički list, **10**(2010) 149–178.
- K. SABO, R. SCITOVSKI, P. TALER, *Uniform distribution of the number of voters per constituency on the basis of a mathematical model (in croatian)*, Hrvatska i komparativna javna uprava, **14**(2012) 229–249.
- K. SABO, R. SCITOVSKI, I. VAZLER, *Searching for a best LAD-solution of an overdetermined system of linear equations motivated by searching for a best LAD-hyperplane on the basis of given data*, Journal of Optimization Theory and Applications, **149**(2011a) 293–314.
- K. SABO, R. SCITOVSKI, I. VAZLER, *One-dimensional center-based l_1 -clustering method*, Optimization Letters, -(in press) DOI: 10.1007/s11590-011-0389-9.
- K. SABO, R. SCITOVSKI, I. VAZLER, M. ZEKIĆ-SUŠAC, *Mathematical models of natural gas consumption*, Energy Conversion and Management, **52**(2011b) 1721–1727.
- Y. D. SERGEYEV, D. E. KVASOV, *Lipschitz global optimization*, In: J. COCHRAN, editor, *Wiley Encyclopedia of Operations Research and Management Science*, volume 4. Wiley, New York, 2011, 2812–2828.
- B. SHUBERT, *A sequential method seeking the global maximum of a function*, SIAM Journal on Numerical Analysis, **9**(1972) 379–388.
- H. SPÄTH, *Cluster-Formation und Analyse*, R. Oldenbourg Verlag, München, 1983.

- J. STIPČEVIĆ, H. TKALČIĆ, M. HERAK, S. MARKUŠIĆ, D. HERAK, *Crustal and uppermost mantle structure beneath the external dinarides, croatia, determined from teleseismic receiver functions*, Geophys. J. Int., **185**(2011) 1103–1119.
- R. G. STRONGIN, Y. D. SERGEYEV, *Global Optimization with Non-Convex Constraints: Sequential and Parallel Algorithms*, Kluwer Academic Publishers, Dordrecht, 2000.
- Z. SU, J. KOGAN, C. NICHOLAS, *Constrained clustering with k-means type algorithms*, In: M. W. BERRY, J. KOGAN, editors, *Text Mining: Applications and Theory*. Wiley, Chichester, 2010, 81–103.
- M. TEBOULLE, *A unified continuous optimization framework for center-based clustering methods*, Journal of Machine Learning Research, **8**(2007) 65–102.
- R. J. VANDERBEI, *Extension of piyavskii's algorithm to continuous global optimization*, Journal of Global Optimization, **14**(1999) 205–216.
- F. P. VASILJEV, *Methods for Solving Extrema Problems*, University of Moscow, 1974, (in Russian).
- I. VAZLER, K. SABO, R. SCITOVSKI, *Weighted median of the data in solving least absolute deviations problems*, Communications in Statistics - Theory and Methods, **41:8**(2012) 1455–1465.
- L. VENDRAMIN, R. J. G. B. CAMPELLO, E. R. HRUSCHKA, *On the comparison of relative clustering validity criteria*, In: *Proceedings of the SIAM International Conference on Data Mining, SDM 2009, April 30 - May 2, 2009, Sparks, Nevada, USA. SIAM 2009*. SIAM, 2009, 733–744.
- V. VOLKOVICH, J. KOGAN, C. NICHOLAS, *Building initial partitions through sampling techniques*, European Journal of Operational Research, **183**(2007) 1097–1105.
- E. WEISZFELD, *Sur le point pour lequel la somme des distances de n points donnees est minimum*, The Tohoku Mathematical Journal, **43**(1936) 355–386.
- C. WU, K. CHAU, Y. LI, *River stage prediction based on a distributed support vector regression*, Journal of Hydrology, **358**(2008) 96–111.
- X. S. YANG, *Firefly algorithms for multimodal optimization*, In: *Proceedings of the 5th international conference on Stochastic algorithms: foundations and applications. 2009*, 169–178.
- T. ZHANG, R. RAMAKRISHNAN, M. LIVNY, *BIRCH: an efficient data clustering method for very large databases*, In: *ACM SIGMOD Conference on Management of Data*. ACM, 1996, 103–114.
- S. ZLOBEC, *The fundamental theorem of calculus for lipschitz functions*, Mathematical Communications, **13**(2008) 215–232.